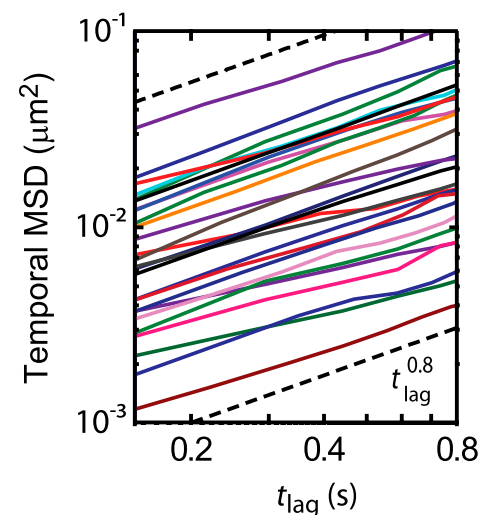
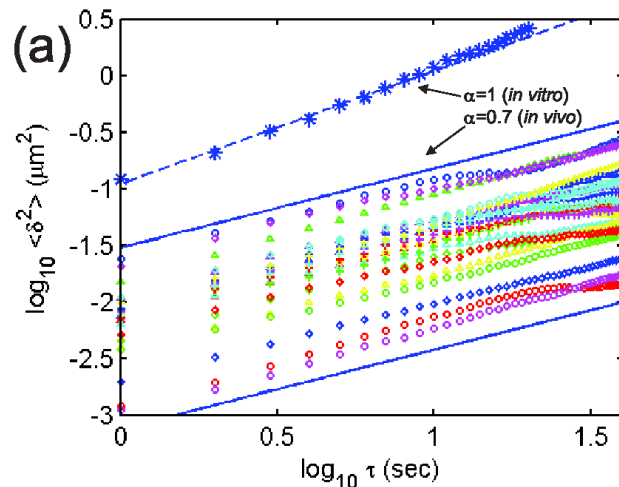


異常拡散における 長時間平均量の分布極限法則

—非再現性の中の分布的な再現性—



慶應義塾大学理工学研究科 秋元 琢磨

第2回統計物理学懇談会@学習院大学2014年3月11日(火)

再現性（エルゴード性）

任意の初期条件に対して、長時間観測すれば、観測量が同じ値に収束するとき、**再現性（エルゴード性）**があるという。

$$\frac{1}{n} \sum_{k=0}^{n-1} f(x_k) \rightarrow \langle f \rangle_{eq} \quad \text{as } n \rightarrow \infty$$

観測関数

例えば、平均2乗変位

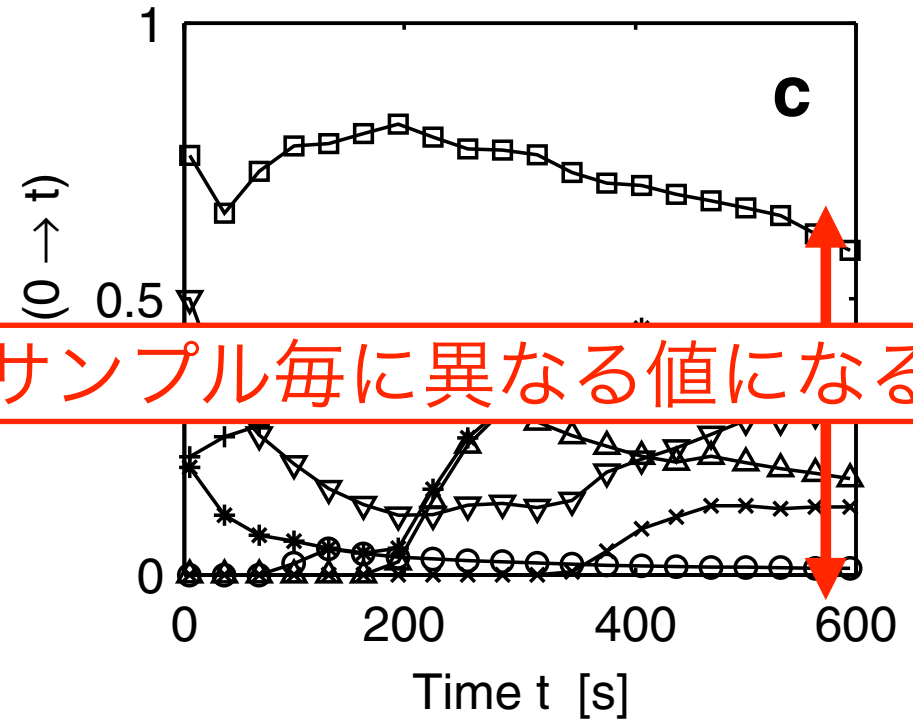
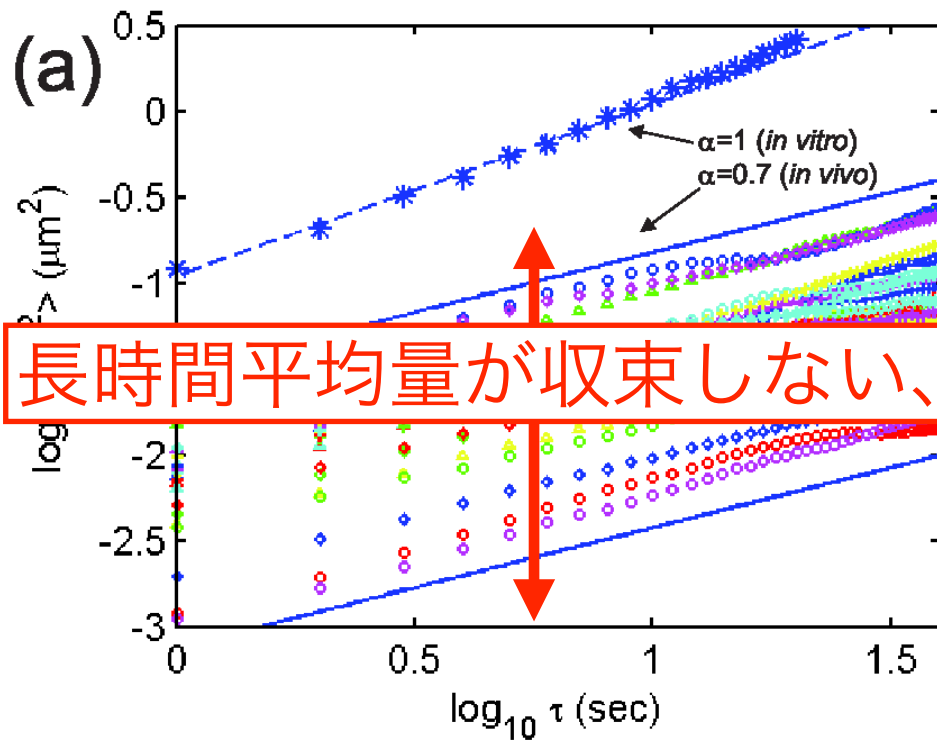
$$\overline{\delta^2(\Delta; t)} \equiv \frac{1}{t - \Delta} \int_0^{t-\Delta} \{x(t' + \Delta) - x(t')\}^2 dt'$$

$$\rightarrow \langle x(\Delta)^2 \rangle \quad \text{as } t \rightarrow \infty$$

非再現性 (エルゴード性の破れ)

$$\overline{\delta^2(\Delta; t)} \equiv \frac{1}{t - \Delta} \int_0^{t - \Delta} \{x(t' + \Delta) - x(t')\}^2 dt'$$

$$\Phi_{\text{on}}(t) \equiv \frac{1}{t} \int_0^t I(t') dt'$$

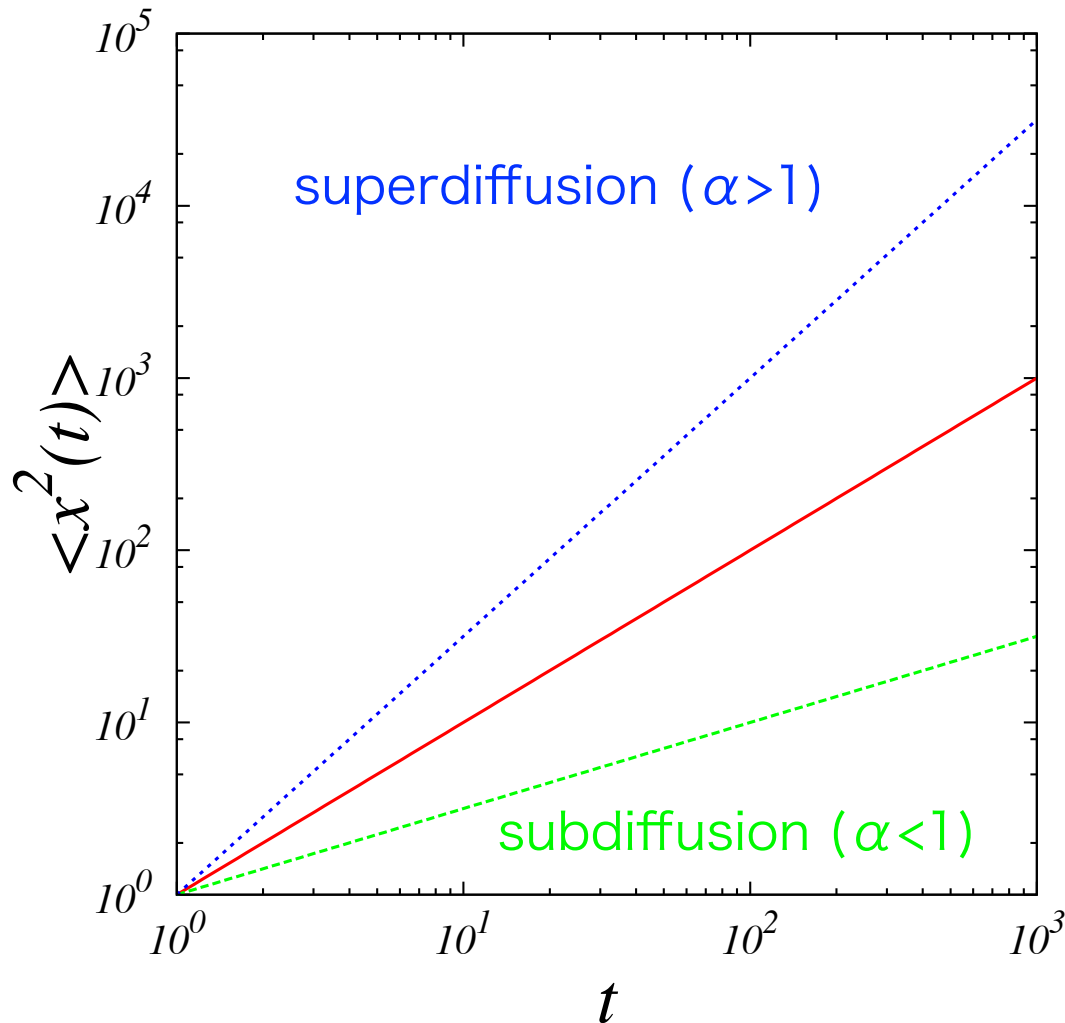


長時間平均量が収束しない、サンプル毎に異なる値になる

I. Golding and E. C. Cox, PRL **96**, 098102 (2008)

X. Brokmann et al., PRL **90**, 12601 (2003)

異常拡散



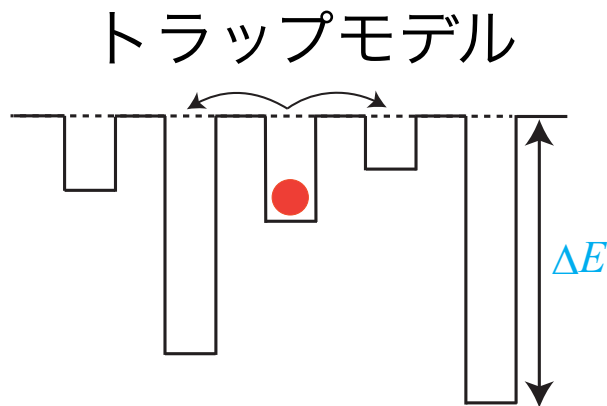
$$\begin{cases} \langle x_t \rangle = 0 \\ \langle x_t^2 \rangle \simeq D_\alpha t^\alpha \quad (t \rightarrow \infty) \end{cases}$$

normal diffusion ($\alpha=1$)

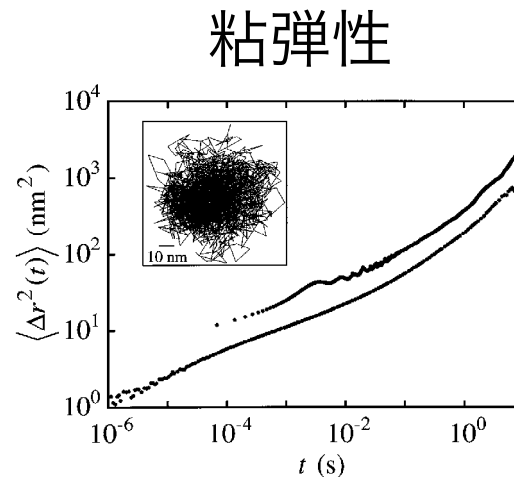
α が1でない拡散
を異常拡散と呼ぶ

遅い拡散のメカニズム

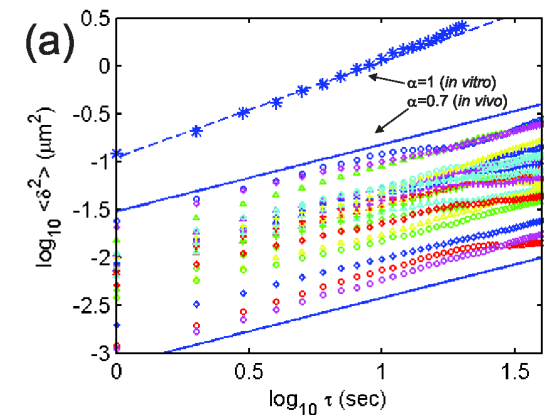
- ・ アモルファス材料における荷電粒子の輸送 (**トラップモデル**)
平均待ち時間の発散
- ・ からみあった高分子溶液中の拡散 (**粘弾性**)
相関のあるノイズに駆動されるブラウン運動
- ・ 細胞内における生体分子の拡散 (粘弾性 or **トラップモデル**)



H. Scher and E. Montroll,
PRB **12**, 2455(1975)



T. G. Mason et al, PRL
79, 3282(1997)



I. Golding and E. C. Cox,
PRL **96**, 098102 (2008)

目的

非再現性（エルゴード性の破れ）の起源は何か？

非再現性を示す現象を分布としてとらえたとき、
普遍分布は存在するか？そして、それは何か？

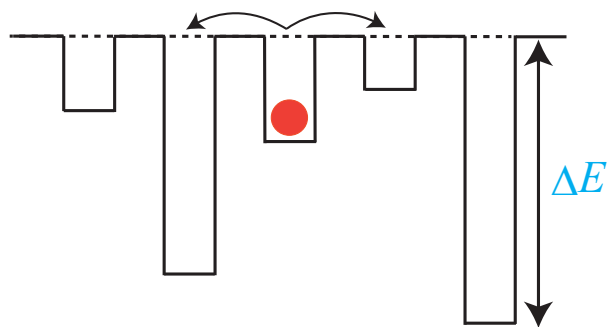


トラップモデルを例として、非再現性が本質的に
現れることを示し、その分布を明らかにする。

モデル

- RWSD (Random walk with static disorder)
- **CTRW** (Continuous-time random walk)
- SEDLF (Stored-energy-driven Levy flight)

待ち時間はランダムだが各
サイト毎に決まっている



RWSD



粗視化

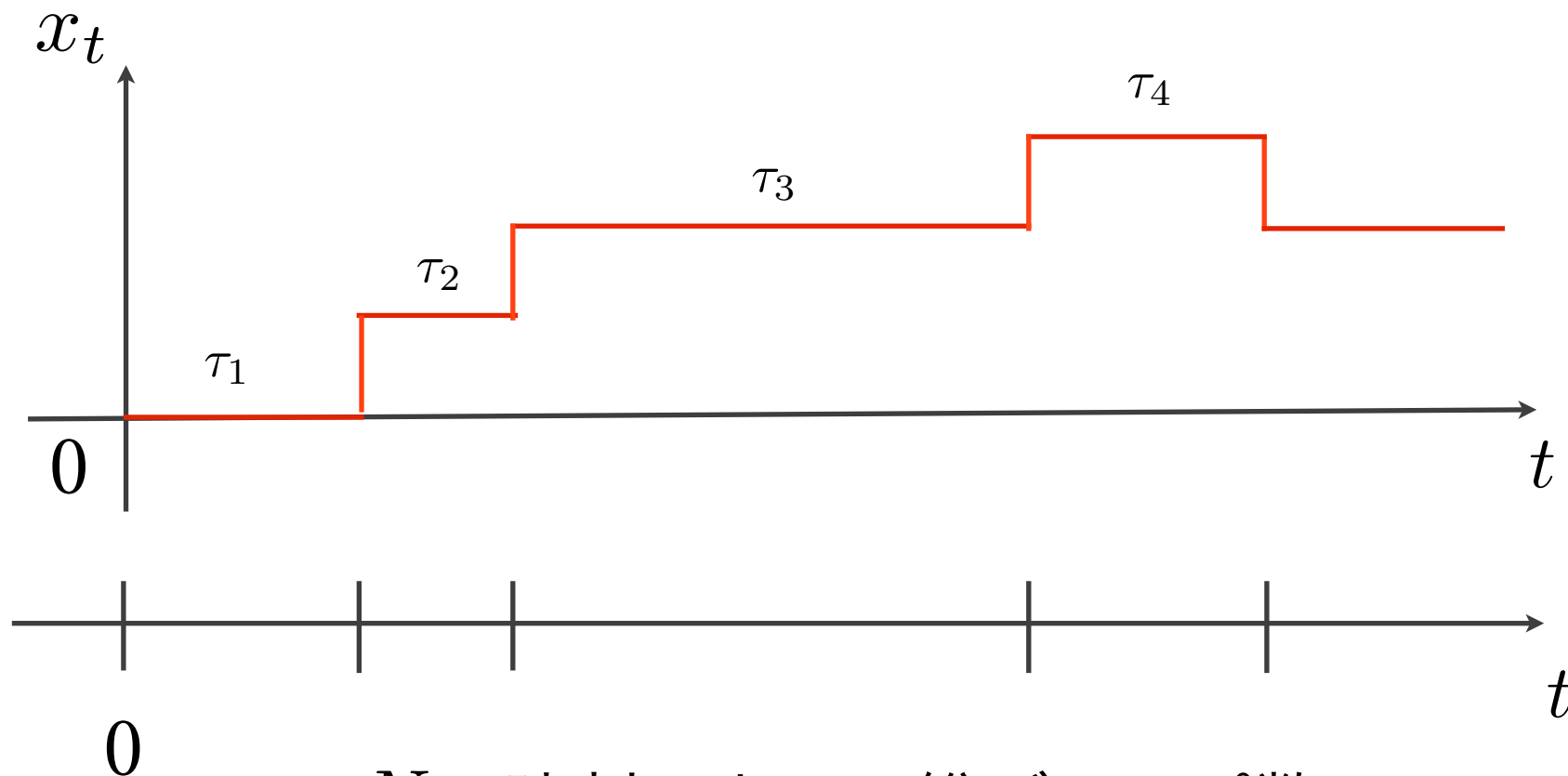
待ち時間は完全にランダム
(同じサイトでもランダム)

CTRW

待ち時間分布はべき分布

$$\psi(\tau) \propto \tau^{-1-\alpha}$$

CTRWと更新過程



N_t : 時刻 t までの総ジャンプ数

$$\langle x_t^2 \rangle = \langle \delta^2 \rangle \langle N_t \rangle$$

平均 2 乗変位

待ち時間分布

$$\psi(\tau) \sim \frac{\alpha c^\alpha}{\Gamma(1-\alpha)} \tau^{-1-\alpha} \quad (\tau \rightarrow \infty)$$

Laplace変換

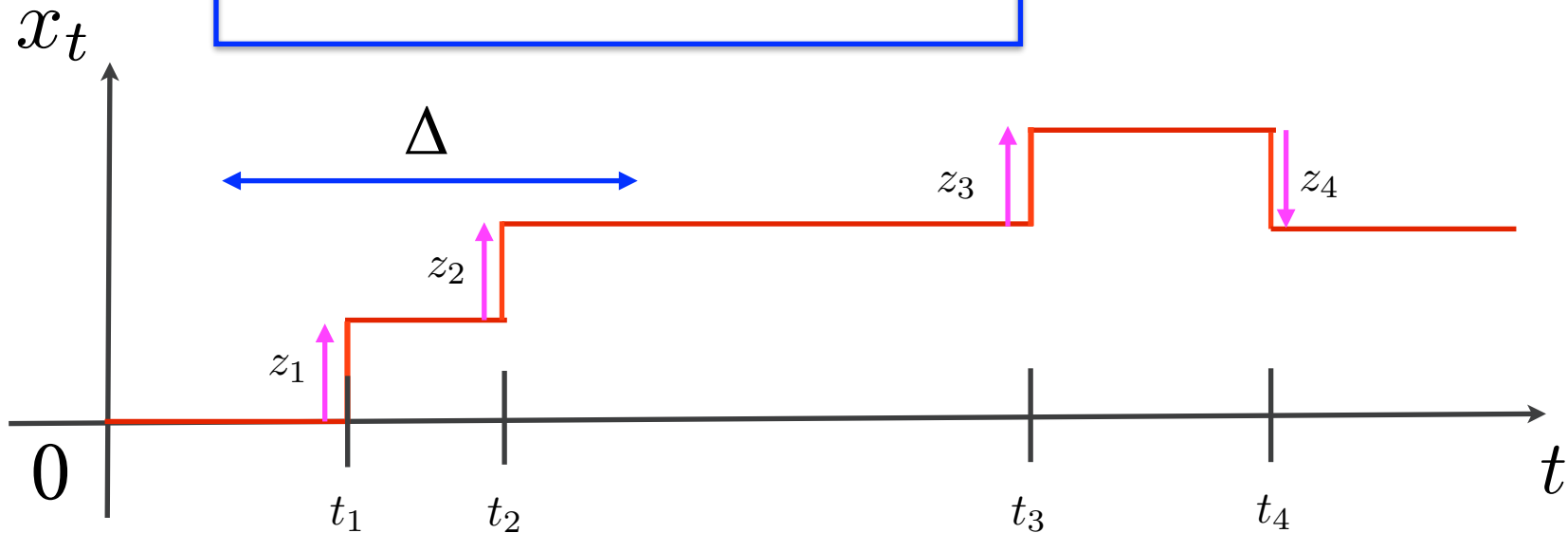


$$\hat{\psi}(s) = \begin{cases} 1 - \langle \tau \rangle s + (cs)^\alpha + o(s^\alpha) & (1 < \alpha < 2) \\ 1 - (cs)^\alpha + o(s^\alpha) & (\alpha < 1) \end{cases}$$

$$\langle x_t^2 \rangle \sim \begin{cases} \frac{\langle \delta^2 \rangle}{\langle \tau \rangle} t & (1 < \alpha) \\ \frac{\langle \delta^2 \rangle}{\Gamma(\alpha + 1)} \left(\frac{t}{c} \right)^\alpha & (\alpha < 1) \end{cases}$$

(時間) 平均 2 乗変位

$$x(t' + \Delta) - x(t') = \sum_{k=1}^{\infty} z_k I(t' < t_k < t' + \Delta)$$

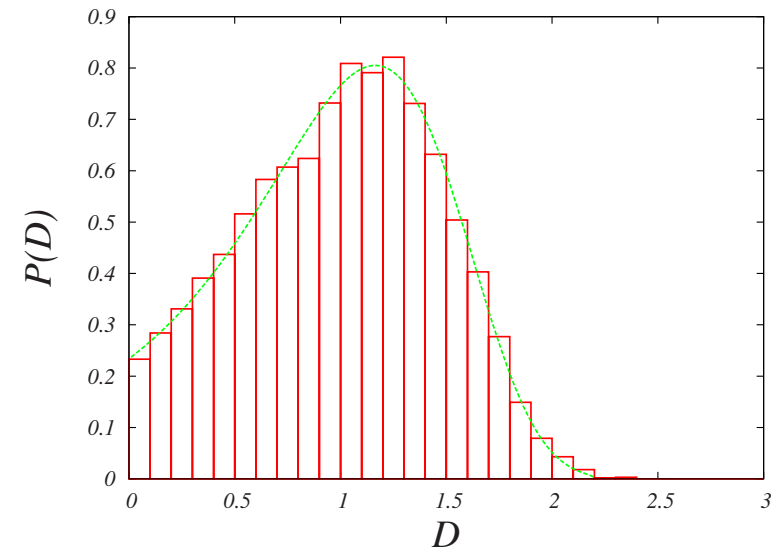
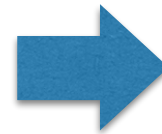
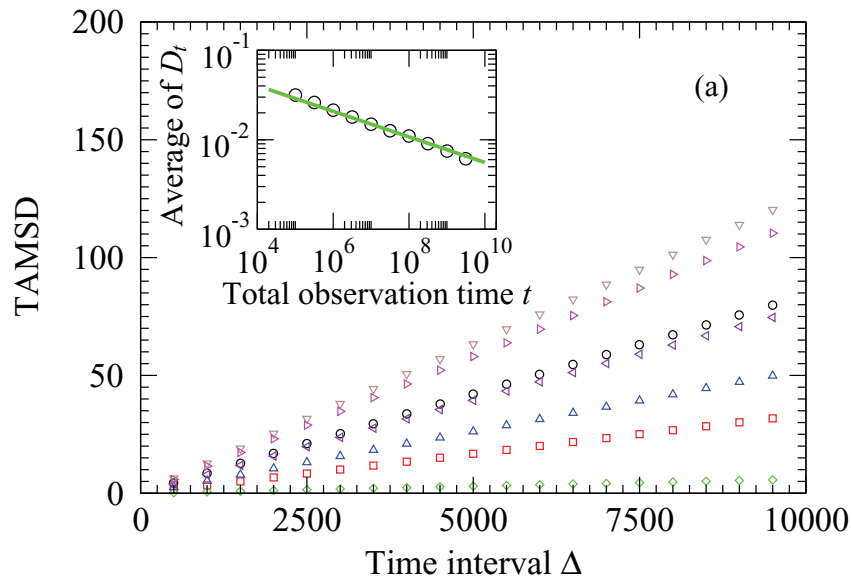


TAMSD (時間平均された平均 2 乗変位) は **ノーマル**

$$\overline{(\delta x)^2}(\Delta, t) \approx \frac{1}{t} \sum_{k=1}^{N_t} \left[\Delta z_k^2 + 2 \sum_{l=1}^{k-1} z_k z_l \theta(\Delta - (t_k - t_l)) \right] = \frac{N_t}{t} \langle z_k^2 \rangle \Delta$$

TAMSDの振る舞い

分布的再現性



ノーマル拡散だが、拡散係数が軌道毎に異なる。

$$D_t \equiv \frac{\overline{\delta^2(\Delta; t)}}{\Delta} \Rightarrow t^{-\beta} \mathbf{D} \quad (t \rightarrow \infty)$$

相対標準偏差

$$R(t) = \frac{\sqrt{\langle \overline{\delta^2}(\Delta, t)^2 \rangle - \langle \overline{\delta^2}(\Delta, t) \rangle^2}}{\langle \overline{\delta^2}(\Delta, t) \rangle} \sim \begin{cases} \sqrt{\frac{\langle \tau^2 \rangle - \langle \tau \rangle^2}{\langle \tau \rangle}} t^{-1/2} & (2 < \alpha) \\ \sqrt{\frac{1}{(2 - \alpha)(3 - \alpha)\langle \tau \rangle}} t^{(1-\alpha)/2} & (1 < \alpha < 2) \\ \sqrt{\frac{\Gamma(\alpha + 1)}{\Gamma(2\alpha + 1)} - 1} & (\alpha < 1) \end{cases}$$

**α が1より小さいとき（平均待ち時間が発散）、TAMSD
は本質的に揺らぐ**

一般化された中心極限定理

$\mathbf{X}_1, \dots, \mathbf{X}_n$ は、独立な確率変数でベキ分布に従うとする。

$$\int_x^\infty \psi(x') dx' \sim \frac{x^{-\alpha}}{\Gamma(1-\alpha)} \quad (x \rightarrow \infty)$$

このとき、 $(\mathbf{X}_1 + \dots + \mathbf{X}_n)/n^{1/\alpha}$ は安定分布に従う。

$$\int_0^\infty g_\alpha(x) e^{-sx} dx = \exp(-s^\alpha)$$

$$\int_x^\infty g_\alpha(x') dx' \sim \frac{x^{-\alpha}}{\Gamma(1-\alpha)} \quad (x \rightarrow \infty)$$

更新理論



$$\Pr(N_t > n) = \Pr(t_n < t)$$

$$\Pr\left(\frac{N_t}{t^\alpha} > \frac{n}{t^\alpha}\right) = \Pr\left(t_n < n^{1/\alpha} x^{-1/\alpha}\right)$$

$$x \equiv \frac{n}{t^\alpha}$$

$$= \Pr\left(\frac{t_n}{n^{1/\alpha}} < x^{-1/\alpha}\right)$$

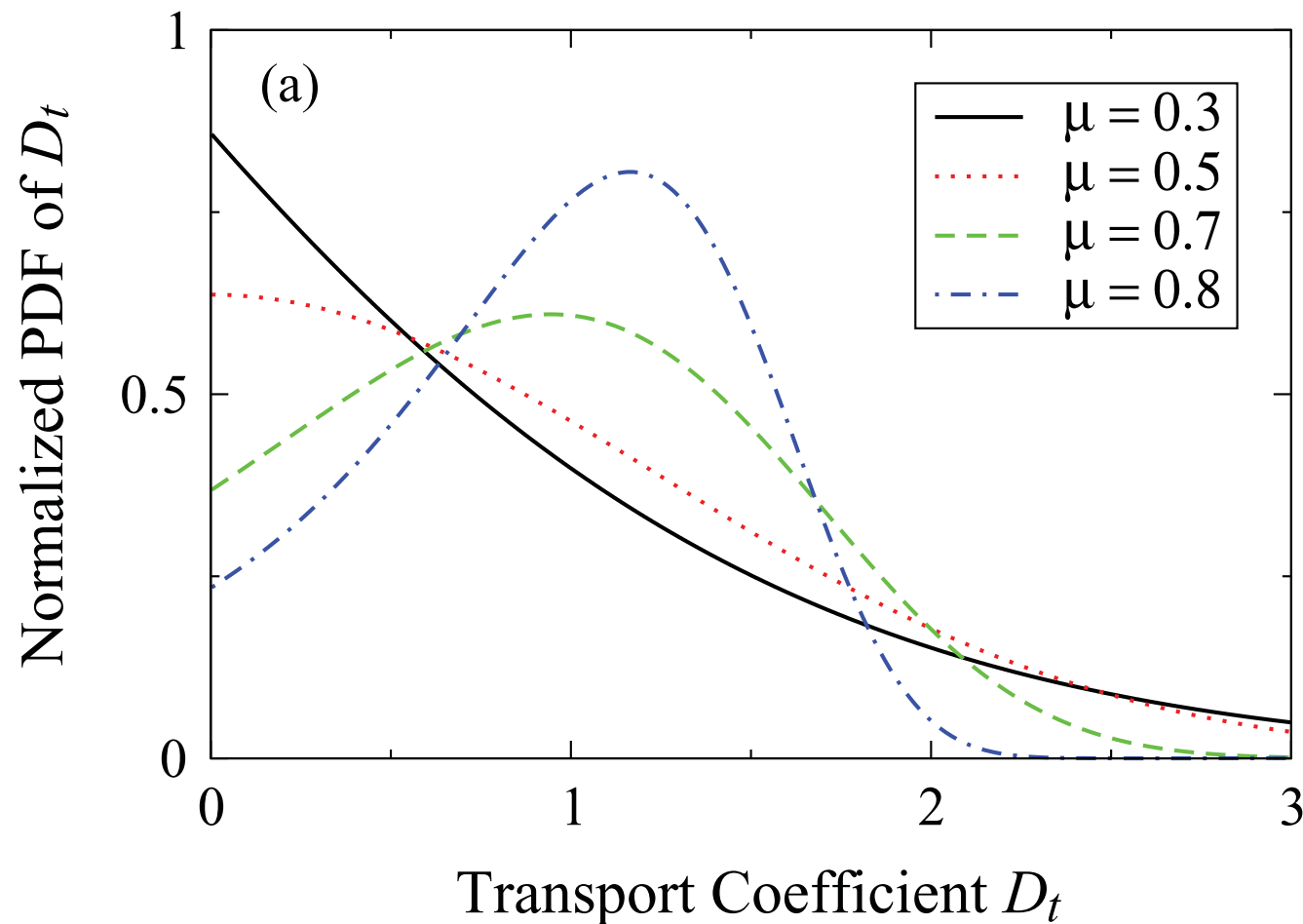
$$\rightarrow \int_0^{x^{-1/\alpha}} g_\alpha(x') dx'$$

Mittag-Leffler分布

$\overline{\delta^2(\Delta; t)} = \frac{N_t}{t} \Delta$ より、拡散係数は本質的にランダムになる

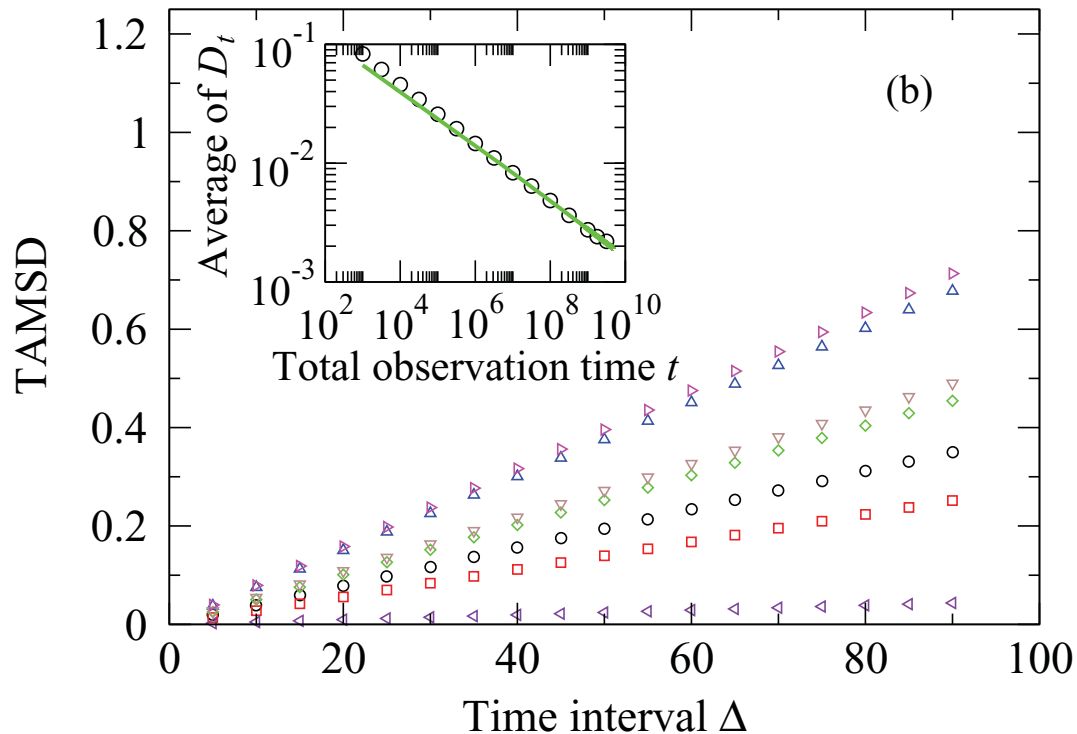
Mittag-Leffler分布

指数分布の一般化 ($\alpha=0$ は指数分布、 $\alpha=0.5$ はハーフガウシアン)



エイジング

拡散係数の平均（アンサンブル平均）は、観測時間に依存する（観測時間と共に減衰する）



$$\overline{\delta^2(\Delta; t)} = D_t \Delta$$

$$\langle D_t \rangle \propto t^{-(1-\alpha)}$$

カットオフの影響

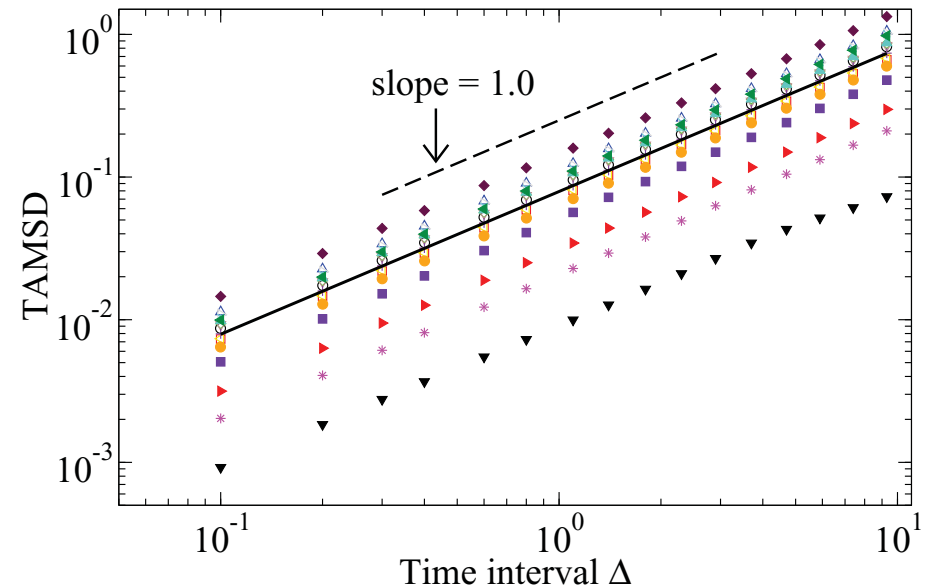
待ち時間分布にカットオフがあるとき（多くの現象には有限性よりカットオフがある）、TAMSDの振る舞い（再現性）はどのようなになるか？

$$\tilde{P}_{TL}(s, \lambda) = \exp\{-c[(\lambda + s)^\alpha - \lambda^\alpha]\},$$

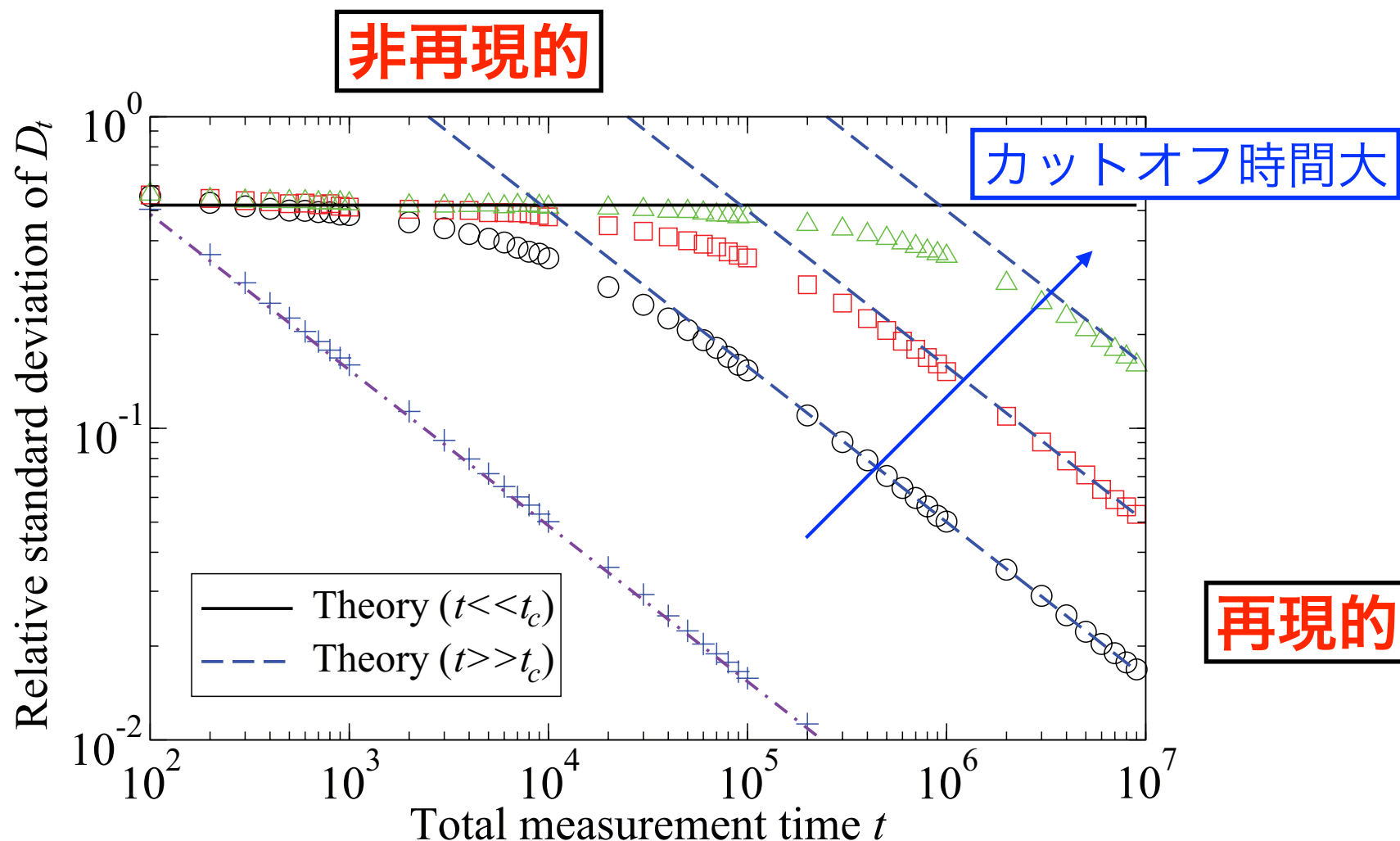


$$\psi(\tau) \propto \begin{cases} \tau^{-1-\alpha} & (\tau \ll 1/\lambda) \\ \exp(-\lambda\tau) & (\tau \gg 1/\lambda) \end{cases}$$

**観測時間がカットオフ時間より
小さいとき、非再現的になる**



非再現性から再現性への クロスオーバー



他のモデル

- **RWSD (Random walk with static disorder)**

TAMSDは線形に増大する。

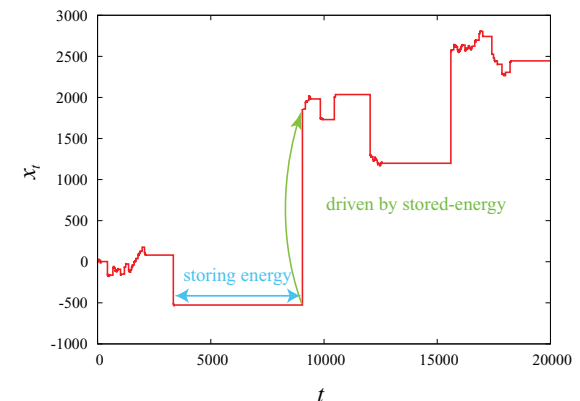
2次元以上では、拡散係数の分布はCTRWと同じになるが、1次元だと異なる分布になる。分布的再現性の起源は同じ（平均待ち時間の発散）

T. Miyaguchi and TA, PRE **83**, 031926 (2011)

- **SEDLF (Stored-energy-driven Levy flight)**

ジャンプ幅と待ち時間のカップルにより生じる大数の法則の破れ

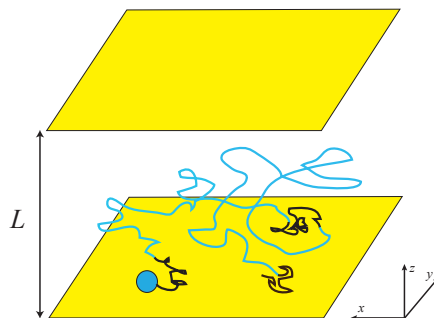
TA and T. Miyaguchi, PRE **87**, 062134 (2013)



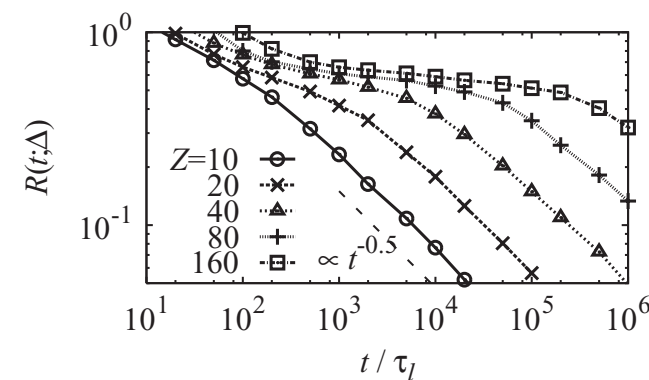
Discussion

CTRWを例として、分布的再現性が本質的に現れる事を示した。分布的再現性の起源は、平均待ち時間が発散する事による大数の法則の破れである。他にも、

- ジャンプ幅の2次モーメントの発散
- ジャンプ幅と待ち時間とのカップル
- 時間的にランダムに拡散係数が変化する系（過渡的）



表面とバルクで拡散係数が異なる



レプテーションモデルのRSD

T. Uneyama, TA, and T. Miyaguchi,
JCP 137, 114903 (2012)

まとめ

拡散係数が観測毎に変化する (非再現性)

拡散係数の分布は普遍的 (分布的再現性)

